

中央大学 理工学部 正会員 戸澤孝吾  
中央大学 理工学部 正会員 首藤伸夫

### 1 実験目的

グラブ浚渫に伴うて発生する浮遊物質の拡散は、近年環境問題の重要なテーマのひとつになつてゐる。この拡散は数値計算などによつて追跡されるが、原点でどの位の浮遊物質が発生するかについては、全く推定の方法がないのが現状である。本文は、浮遊物質の発生機構を明らかにする事を目的とした実験について報告するとともに、実験の相似律について若干の考察を述べたものである。

### 2. 浮遊土砂発生の機構

実験を観察した結果、浮遊物質を発生させる過程と機構を次のように分類する事ができた。

- 1) 引揚過程。グラブが海底を離れて上昇していく過程である。グラブ外面に付着した土砂、および両放型では掘削土表面が流水で洗われる結果浮遊物質が生じる。この時の発生量を  $W_{LP}$  とする。
- 2) 浮上過程。グラブ上面が海面に達し、グラブ下面が海面を離れるまでを言う。引揚速度にくらべ、流水の勢いが大きく、特に両放型で満杯の時は、掘削土上面からの発生量が多い。発生量を  $W_{LS}$  とする。
- 3) 水切り過程。グラブ内に残留した水を空中で切っている状態を言う。グラブの口が十分にしめられていない場合には、水と共に発生する土砂量がふえる。発生量を  $W_{LA}$  とする。
- 4) 投下過程。捨土の落いたグラブが、口を開いたまま落下していく状態を言う。グラブ内面に付着した土砂が、流水に洗われて、浮遊物質が発生する。発生量を  $W_{LD}$  とする。
- 5) 埋立過程。グラブ下端が海底に衝突して静止するまでを言う。落下速度が大きく、又海底土の粒径が大きい場合着底時の衝撃により浮遊物質がまき上る。発生量を  $W_{LL}$  とする。

したがつて以下に述べる実験では、これら各過程での発生量をおさえよう努力した。又掘削全量は  $W_T$ 、発生した全浮遊物質は  $W_L$  ( $= W_{LP} + W_{LS} + W_{LA} + W_{LD} + W_{LL}$ ) と表す。

### 3. 実験方法

実験には、底断面  $60 \times 60\text{cm}$ 、高さ  $80\text{cm}$  の合成樹脂できただ透明な水槽を用いた。模型は原形  $20\text{m}^3$  グラブの幾何縮尺とした。実験は全て静水中で行なった。

浮遊物質の発生、及び発生量に影響する因子として、海底土の性質、グラブ引揚速度、水深、グラブ形状、掘削量等を考えるので、これらを変化させて資料を採取した。(1)海底土は、砂のみ、カオリニのみ、カオリニ+砂(重量比  $1:1$ ) の三種類。(2)グラブ形状は、両放型、底閉型。(3)掘削量は、グラブに満杯、半量の二種類。(4)水深は、 $15, 30, 60\text{cm}$  の三種類。(ただし砂のみの場合、 $15, 30, 60\text{cm}$ 、カオリニのみの場合、 $30, 60\text{cm}$ 、(カオリニ+砂)の場合、 $60\text{cm}$ のみ)。(5)グラブ引揚速度は、海底土が砂のみの場合、 $3, 7, 10, 15, 20\text{cm/sec}$ 、カオリニのみ、および(カオリニ+砂)の場合は  $7, 20\text{cm/sec}$  とした。フルート則によれば、原形の引揚速度  $50\text{cm/sec}$  では  $7\text{cm/sec}$  となる。同一作業条件のもとで砂は四回、他は三回づつ資料を採取した。海底土の性質により、浮遊土砂発生の状況が異なるか、カオリニのみの時の資料採取方法は次のようにした。

浮上過程と水切り過程はひとつの容器にこれを受け取り、水を稀釈した後濁度を計測して重量に換算した。すなわち  $W_{LA} + W_{LS}$  である。もし投下過程で付着残土が水に洗われて、浮遊物質を発生せしめるとするとき、 $W_{AD}$  は  $W_{LD}$  の上限値を与える。引揚過程がよいかず時に発生した土砂は、水槽内の濁度から求めることなく、水槽内に平面的に2ヶ所、鉛直方向に、6ないし8点、サイドビューポジションにておき、このサイドビューポジションから採水を行なって決定した。又実験が終了すると水槽内の水を全部採取して、その平均濁度をもとめた。二つ二つの濃度をもとめて

$W_{LP} + W_{LL}$  を計算した。落下速度が大きくなつた場合は、この値は  $W_{LP}$  に等しいと考えて良い。

### 3. 実験結果

ここでは紙数の關係から、海産土かカオリニの二つの場合の報告にとどめる。又図-1～5 から実験全般で南放型グラフの資料、白丸印全て密閉型グラフの資料としてある。

#### 1. 損削土量 $W_T$ と発生量 $W_L$ との関係

図-1 に結果を示す。 $W_L$  の  $W_T$  の 5~20% の平均と 1% に約 13% である。左のこの図から見る限り、全発生量は型式によらず似通つた値を示していゝ事かしれる。

図-1

図-2

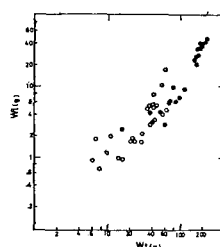


図-3

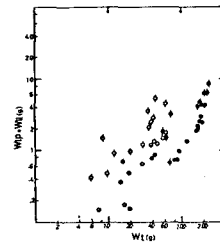


図-4

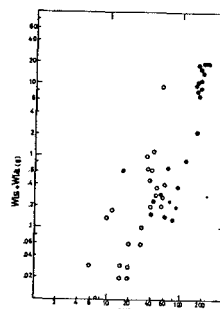
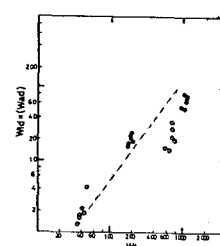


図-5



#### 2. 損削土量 $W_T$ と引揚過程及び着底時の関係

図-2 に結果を示してあるが、密閉型の方が引揚過程における発生量が多い事が知れる。この原因は今のところ明らかでなく、当初の予想と喰い違つていい。考えられる原因のひとつに、模型の大きさが若干設計と異つて、南放型が大きくなつて、た車か考えられる。そのため同量の損削量に対し、密閉型はグラフ上端まで付着土があつて、それが飛出した時に對し、南放型はグラフ上端まで差せず、引揚時に流出する量に制限をうけたのであつる。今後やリ直す必要がある。たが平均と 1% の  $W_{LP}/W_T$  は 2.5 以前後である。図中中、中は引揚速度が 20 cm/sec であり、速度が大きくなると、引揚時に発生量も増加していゝ事かわかる。

#### 3. 浮上時、および水切り時の発生量

これは、 $W_{LS} + W_{LA}$  であり、これと損削土量  $W_T$  の関係を示したのが図-3 である。損削土がグラフ上端より上に露出する程多い場合を除くと、南放型、密閉型共あまり相違はない。ところが南放型の場合、グラフ上端に損削土が入つてくると、浮上時に流出する量が激しく増加する。 $W_T = 120$  g 程度以上かそれでこより少ない場合に、 $(W_{LS} + W_{LA})/W_T$  は 1~2.5% 位であるかと、多い場合 10% にも達する。

#### 4. 損削土量と付着量の関係

図-4 は捨工後の付着量であり、これがグラフ投下時に全て洗われて、浮遊砂を発生する原因になるとすれば、全発生量の大半はこれが占める事になる。実験では  $W_T$  の 10% 程度である。左の損削量を体積  $V$ 、海産土との接触面積を  $A$  と表すと、実験で使つたグラフは、 $S \propto V^{0.35}$  の関係があつた。又カオリニの粘着力は深さによって変化するので、この事を考慮に入れて計算すると、図-4 に示す曲線となり、两者は可成り良い一致を示す。図-5 は、左の模型での付着量の比較である。損削量は全て満杯である。この図より、付着量は、上の方式で計算した結果の曲線にはほの 3 倍である。損削量は全て満杯である。この図より、付着量は、上の方式で計算した結果の曲線にはほの 3 倍である。損削量は全て満杯である。